

A Hybrid Image Encryption Scheme based on Chaos and a DPA-Resistant Sbox

Mohammad Gholamzadeh, Behrouz Khadem

Abstract

Image encryption is one of the most common and effective methods to secure digital images. Recently, Khalid M. Hosny presented an image encryption scheme based on 6D hyper chaotic mapping and Q-Fibonacci matrix, which, despite its remarkable theoretical and practical properties, has several weaknesses, including inaccuracy of black image encryption, inappropriate white image encryption (improper entropy parameters, correlation, chi-square test, histogram, UACI, and NPCR), weak keys, inappropriate key usage. In this paper, based on Khaled Hosny's design, a new effective design is presented that has improved encryption security and efficiency. In addition, in the proposed design, a secure key and a substitution box with a high degree of transparency order, which is resistant to DPA attacks, have been added. Also, a method to improve transferring chaos parameters is also proposed. The test results show the improvement of the resistance of the proposed design against the common attacks of image encryption schemes and improvement in bandwidth consumption. Also it has been shown that the proposed scheme has produced better results in terms of both security and efficiency compared to other similar new schemes.

key words:

Image Encryption, Chaotic Map, Secure Sbox, Transparency Order

سامانه ترکیبی رمز تصویر مبتنی بر آشوب و جعبه جانشانی مقاوم در DPA

محمد غلامزاده^۱، بهروز خادم^۲

^۱ کارشناس ارشد مخابرات امن و رمزنگاری، دانشگاه جامع امام حسین (ع)
fr6ad@ihu.ac.ir

^۲ دانشیار دانشکده کامپیوتر، شبکه و ارتباطات، دانشگاه جامع امام حسین (ع)
bkhadem@ihu.ac.ir

چکیده

رمز تصویر از متداول ترین و مؤثرترین روش های امن سازی تصاویر دیجیتال است. اخیراً خالد حسنی یک طرح رمز تصویر مبتنی بر نگاشت ابر آشوب ۶ بعدی و ماتریس Q-فیبوناچی ارائه کرده است که علی رغم خواص نظری و عملی قابل توجه، به دلیل کم توجهی به عامل آشفته سازی، قابلیت رمزنگاری تصویر کاملاً سیاه و کاملاً سفید یا هر تصویر کاملاً یکنواخت دیگر را ندارد. استفاده نادرست از پارامترهای اولیه نگاشت آشوبی و وجود کلیدهای ضعیف و ضعف در کاربرد کلید از دیگر نقاط ضعف طرح خالد حسنی است. در این مقاله بر مبنای طرح خالد حسنی، یک طرح جدید ارائه شده که نگاشت ابر آشوب و ماتریس Q-فیبوناچی را بهبود داده است. به علاوه در طرح جدید یک کلید و یک جعبه جانشانی با مرتبه شفافیت بالا که در برابر حملات DPA مقاوم است، افزوده شده است. همچنین روشی برای بهبود ارسال پارامترهای آشوب نیز پیشنهاد شده است. نتایج حاصل از آزمایش ها، نشان دهنده ارتقای مقاومت طرح جدید در مقابل حملات متداول رمزهای تصویر و کاهش مصرف پهنای باند است.

کلمات کلیدی

رمز تصویر، آشوب، نگاشت آشوبی، جعبه جانشانی امن، مرتبه شفافیت

۱- مقدمه

ارتباطی و اطلاعاتی، پزشکی و زیست شناسی هم قابل مشاهده است [۲-۵]. آشوب برای اولین بار توسط متیوز در رمزنگاری ادغام شد [۶، ۷] و به نظر می رسد فردریک در [۸] برای اولین بار پیشنهاد داد تا از یک نگاشت آشوبی برای رمزنگاری تصویر استفاده شود.

در دهه های اخیر آشوب و رمزنگاری تصویر توجه گسترده ای را به خود جلب کرده است [۲، ۵، ۹-۱۳]. برخی از خواص شناخته شده و اصلی سامانه های آشوبی وابستگی خروجی آن ها به شرایط اولیه، شبه تصادفی بودن، توپولوژیک بودن (و چگال بودن خروجی آن ها است که همگی از الزامات اساسی هر سیستم رمز کلاسیک شانونی است. بنابراین می توان از آنها برای طراحی سیستم های رمزنگاری استفاده کرد [۵، ۱۲، ۱۴، ۱۵].

یک دنباله آشوبی هم می تواند در تولید جعبه جانشانی [۱۶، ۱۷] و هم در طراحی سامانه رمزنگاری تصویر [۱۸، ۱۹] برای ایجاد اغتشاش و

در سال های اخیر، کاربرد گسترده انتقال تصاویر از طریق شبکه های مجازی باعث افزایش توجه به رمزنگاری تصویر شده است. به منظور محرمانگی تصویر و حفظ حریم خصوصی کاربران مطالعات عمیق و گسترده ای روی طرح ها و سامانه های رمزنگاری که خواص انتشار و آشفته گی قابل قبول داشته باشند به عمل آمده است.

آشوب، یکی از انواع دینامیک های غیرخطی است که در طبیعت (مانند آب و هوا [۱])، دینامیک ماهواره ها در منظومه شمسی و رشد جمعیت در بوم شناسی) و در آزمایشگاه (مانند مدارهای الکتریکی، لیزرها، واکنش های شیمیایی، دینامیک های شار و سیستم های مکانیکی و مغناطیسی) قابل مشاهده است. پدیده های آشوبی در کاربردهای متعدد دیگری نظیر هواشناسی، فیزیک، مهندسی رایانه، رمزنگاری، مهندسی مخابرات و الکترونیک، فناوری های

پیکسل‌های تصویر رمزی خروجی از معیارهای NPCR و UACI استفاده می‌شود [۲۵].

۳-۲- تحلیل توزیع مربع کای

یکنواختی توزیع تصویر رمزی را می‌توان به صورت کمی با استفاده از آزمون مربع کای ارزیابی کرد. در این آزمون توزیع مربع کای، جهت مقایسه زیندگی فراوانی‌های مشاهده شده در یک نمونه اندازه‌گیری شده با فراوانی‌های مورد انتظار در توزیع مقایسه می‌شود. آماره‌ی این آزمون عبارت است از:

$$x_{test}^2 = \sum_{k=1}^{256} \left(\frac{v_k - e_k}{e_k} \right)^2 \quad (2)$$

که k تعداد حالت‌های ممکن یک پیکسل و v_k فراوانی هر سطح خاکستری (۰-۲۵۵) است [۲۶]. به طور مثال، اگر تصویر اصلی دارای ابعاد $H \times W$ باشد آنگاه $e_k = \frac{H \times W}{256}$ با فرض می‌زان بحرانی ۰/۰۱، اگر $x_{test}^2 > (255,0.01)$ آنگاه نتیجه گرفته می‌شود که فرضیه یکنواختی رد می‌شود و روشن می‌شود که توزیع هیستوگرام تصویر رمز غیر یکنواخت است.

۴-۲- تحلیل آنتروپی

آنتروپی، میزان تصادفی بودن خروجی یک سیستم رمزنگاری را معلوم می‌کند، هر چه آنتروپی اطلاعات یک تصویر رمزی بیشتر باشد، توزیع اطلاعات تصادفی‌تر است و اطلاعات بصری آن کمتر است. در حالت تصادفی ایدال، هر کدام از این پیکسل‌ها در تصویر رمزی باید دارای احتمال وقوع یکسانی باشند. رفتار تصادفی تصویر رمزی با آنتروپی مشخص می‌شود. هنگامی که پیکسل‌ها (۸-بیتی) رمز می‌شوند، آنتروپی در شرایط ایدال باید ۸ باشد [۱۲]، اگر یک الگوریتم رمز سمبل‌هایی با آنتروپی اطلاعات کمتر از ۸ تولید کند، احتمال قابل‌پیش‌بینی بودن وجود دارد که برای امنیت رمزنگاری تصویر یک تهدید محسوب می‌شود. نحوه محاسبه مقدار در رابطه زیر است:

$$H(m) = \sum_{i=1}^{2^w-1} P(m_i) \log_2 \frac{1}{p(m_i)} \quad (3)$$

۵-۲- همبستگی

آزمون همبستگی، مهم‌ترین فن مورد استفاده در به دست آوردن شباهت بین دو تصویر است. احتمال آنکه اطلاعات تصویر اصلی توسط مهاجم کشف شود، با افزایش میزان همبستگی در تصویر رمزی، افزایش می‌یابد. هرچه میزان همبستگی پیکسل‌های رمزی به یکدیگر به صفر نزدیک‌تر باشد، مناسب‌تر است. این معیار به سه نوع همبستگی افقی، همبستگی عمودی و همبستگی قطری دسته‌بندی می‌شود که در تصویر اصلی و تصویر رمز شده هر کدام به صورت جداگانه محاسبه می‌شود. جهت محاسبه ضریب همبستگی از رابطه زیر استفاده می‌شود. در این روابط، x و y در معادله نشان‌دهنده دو مقدار

انتشار به کار برود. بنابراین، رمزنگاری تصویر با استفاده از جعبه‌های جانشانی و سیستم آشوب امکان پذیر است [۲۰، ۲۱].

در ریاضیات، دنباله فیبوناچی دنباله‌ای از اعداد است که در آن اعداد (غیر از دو عدد اول) با محاسبه مجموع دو عدد قبلی ایجاد می‌شوند [۲۲]. ماتریس Q -فیبوناچی^۲ به صورت ماتریس $Q = \begin{pmatrix} 1 & 1 \\ 1 & 0 \end{pmatrix}$ است، رابطه (۱) توان n ماتریس Q -فیبوناچی را نشان می‌دهد (ویژگی‌ای وجود دارد که ماتریس Q را به اعداد فیبوناچی متصل می‌کند).

$$Q^n = \begin{pmatrix} F_{n+1} & F_n \\ F_n & F_{n-1} \end{pmatrix} \quad (1)$$

اخیراً در [۱۲]، یک طرح رمزنگاری تصویر با استفاده از نگاشت ابر آشوب ۶ بعدی و ماتریس Q -فیبوناچی توسط خالد حسنی^۳ و همکاران پیشنهاد شده است. در این طرح (که از این پس طرح IEAHF نامیده می‌شود) مقادیر اولیه (کلیدها) نگاشت آشوبی، قبل از شروع به کار سامانه رمزنگاری تولید و بین فرستنده و گیرنده توافق می‌شوند. در IEAHF دنباله آشوبی حاصل از تکرار یک سامانه دینامیکی ۶ بعدی، پس از مرتب‌سازی وارد مرحله انتشار (توسط ماتریس Q -فیبوناچی) می‌شود و در نهایت تصویر رمز شده خروجی پس از (حداقل) دو بار تکرار در حلقه درونی سامانه تولید می‌شود.

در ادامه این مقاله به شرح زیر سازمان‌دهی شده است در بخش اول اصطلاحات و مفاهیم بنیادی تشریح شده است. بخش دوم شامل مروری بر IEAHF است. در بخش سوم، به ارزیابی نقاط ضعف IEAHF پرداخته شده است. در بخش چهارم طرح پیشنهادی GH401 نیز مطرح می‌شود. شبیه‌سازی نرم‌افزاری GH401 و مقایسه با سایر طرح‌های مشابه، برتری امنیت و کارایی طرح پیشنهادی را نشان می‌دهد. در بخش انتهایی مقاله است نتیجه‌گیری کلی ارائه می‌شود.

۲- اصطلاحات و مفاهیم بنیادی

مهم‌ترین معیارهای امنیت در یک سامانه رمز تصویر مانند هیستوگرام، حملات تفاضلی شامل NPCR^۵ و UACI^۶؛ توزیع مربع کای پیرسون^۷؛ آنتروپی و همبستگی تصویر رمزی هستند [۲۳].

۱-۲- تحلیل هیستوگرام

یک الگوریتم رمزنگاری تصویر خوب باید به گونه‌ای باشد که در آن هیستوگرام متن رمزی تقریباً یکنواخت است و به تصویر تصادفی نزدیک‌تر باشد [۲۴]. برای جلوگیری از نشت اطلاعات و جلوگیری از حملات مهاجم، مهم است که تضمین شود تصویر اصلی و تصویر رمز هیچ‌گونه تشابه آماری ندارند.

۲-۲- معیارهای امنیتی شامل NPCR و UACI

در این حمله، هدف مهاجم رمزگشایی تصاویر رمزی (بدون استفاده از کلید) از طریق تعیین رابطه بین تصویر اصلی با تصویر رمزی متناظرش است. معمولاً برای تعیین میزان رابطه بین پیکسل‌های تصویر اصلی ورودی بر روی

پیکسل متوالی است و N نشان دهنده تعداد جفت پیکسل انتخاب شده است [۲۶].

$$E(x) = \frac{1}{N} \sum_{i=1}^N x_i \quad (4)$$

$$D(x) = \frac{1}{N} \sum_{i=1}^N (x_i - E(x))^2 \quad (5)$$

$$\text{cov}(x, y) = \frac{1}{N} \left(\sum_{i=1}^N (x_i - E(x))(y_i - E(y)) \right) \quad (6)$$

$$r_{xy} = \frac{\text{cov}(x, y)}{\sqrt{D(x)D(y)}} \quad (7)$$

در گام‌های ۶ و ۷ و ۸ دنباله آشوبی به صورت زیر بلوک‌های ۲×۲ بازسازی شده و در ماتریس Q-فیوناچی ضرب می‌شود. یکی از نقاط ضعف این الگوریتم تاثیر نداشتن ماتریس Q-فیوناچی در دور اول می باشد که در قسمت ۲-۲-۵ به اصلاح آن پرداخته شده است

در گام‌های ۹ و ۱۰ تصویر رمزی حاصل (خروجی تکرار اولین حلقه) به تکرار حلقه بعدی فرستاده می‌شود تا مجدداً گام‌های ۱ تا ۱۰ تکرار شود و تصویر رمز شده نهایی بدست آید.

باتوجه به اینکه در هیچ‌یک از گام‌های الگوریتم (۱) آشفتگی لازم برای رمز کردن یک تصویر یکنواخت (سفید یا سیاه) به وجود نمی‌آید، لازم است یک عامل آشفتگی به این الگوریتم اضافه شود که می‌تواند یک جعبه‌جانشانی باشد.

اضافه کردن چنین عامل آشفتگی باید به گونه‌ای انجام شود که تهدید جدیدی به سامانه رمز اضافه نکند، به این معنی که در مقابل حملاتی مانند حمله DPA و سایر حملات مقاوم باشد.

۴- ارزیابی طرح IEAHF

در این قسمت، طرح IEAHF را از سه دیدگاه اصلی بررسی می‌نماییم. دیدگاه اول ارزیابی کلی است که در آن نشان می‌دهیم تصاویر سیاه، سفید و تصاویر یکنواخت به درستی رمز نمی‌شوند و برای اصلاح آن مطابق شکل (۶) اقداماتی را انجام می‌دهیم. در دیدگاه دوم به ارزیابی کلیدهای IEAHF می‌پردازیم و نشان می‌دهیم به دلیل استفاده نادرست از کلیدها، محدودیت‌هایی در رمزنگاری به وجود می‌آید و پیشنهادی برای اصلاح آن ارائه می‌شود. در دیدگاه سوم به موضوع روش نادرست انتقال کلید و مصرف بیش از اندازه پهنای باند می‌پردازیم و برای اصلاح آن راهکاری پیشنهاد می‌کنیم.

۳- مروری بر طرح IEAHF

در این طرح مطابق الگوریتم (۱) یک تصویر (اصلی) به اندازه M×N پیکسل، مورد رمزنگاری قرار می‌گیرد.

در گام‌های ۱ تا ۳ مقادیر اولیه (کلید) سامانه آشوبی معرفی شده است. در گام ۴ باتوجه به پارامترهای معرفی شده، شش دنباله‌ی آشوبی به طول M×N حاصل می‌شود که دنباله‌های فرد آن به صورت سریال (پشت سر هم) الحاق می‌شود و برای گام ۷ بکار می‌روند (اگر دنباله آشوبی ۶ بعدی را به صورت ماتریسی دارای ۶ ستون و L ردیف در نظر بگیریم ستون‌های فرد انتخاب شده است). از دنباله‌های زوج در IEAHF استفاده‌ای نشده است. یکی از ضعف‌های الگوریتم (۱) عملیاتی است که در فاصله بین گام ۵ و ۶ انجام می‌گردد. ضعف این عملیات در قسمت ۳-۴ (ارزیابی کلیدهای طرح) به طور کامل تشریح شده است.

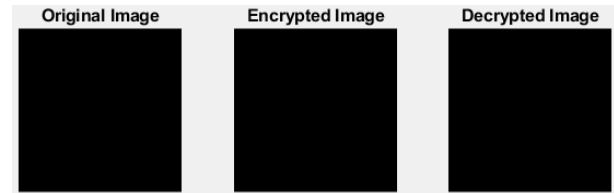
در گام ۵ با مرتب کردن دنباله‌های فرد به صورت صعودی، اندیس موقعیت آن‌ها (مکان پیکسل‌ها) در یک بردار جدید بنام S و سپس در یک ماتریس بنام SS با N×M سطر و r ستون ذخیره می‌شود (r تعداد تکرار حلقه درونی الگوریتم است).

الگوریتم (۱): الگوریتم رمزنگاری طرح IEAHF [۱۲]

1:	i=1
2:	Transform the image array to a vector P. Calculate the initial key of the hyperchaotic system as follows:
3:	$x_1 = \frac{\sum_{i=1}^{MN} P(i) + (M \times N)}{2^{23} + (M \times N)}$, $x_i = \text{mod}(x_{i-1} \times 10^6, 1)$ $i = 2, 3, \dots, 6$ With the initial conditions; x_1, x_2, \dots, x_6 .
4:	Iterate the hyperchaotic system in (1) $N_0 + MN / 3$ times then discard the N_0 values to make a new sequence L with size $M \times N$. (we select three sequences (x_1, x_3 , and x_5) from the system in (1)).
5:	Sort L in ascending order and return their positions in vector S.
6:	Permit the image vector P to generate newly shuffled sequence R as follows: $R_i = P(S_i), i = 1 : MN$
7:	Convert the sequence R into the matrix R' and divide it into sub-blocks, each with size 2×2 . Get the Chipper image C by multiplying each 2×2 sub-block in R' . $\begin{pmatrix} C_{i,j} & C_{i,j+1} \\ C_{i+1,j} & C_{i+1,j+1} \end{pmatrix} = \begin{pmatrix} R'_{i,j} & R'_{i,j+1} \\ R'_{i+1,j} & R'_{i+1,j+1} \end{pmatrix} \begin{pmatrix} 89 & 55 \\ 55 & 34 \end{pmatrix} \text{mod } 256$
8:	with $i = 1 : 3 : \dots : M, j = 1 : 3 : \dots : N$.
9:	Let $I=C$ then $i = i + 1$.
10:	Replicates steps 2 TO 8 for $i \leq 2$.

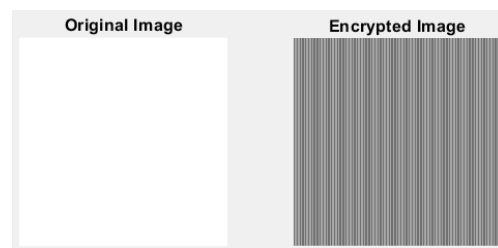
۱-۴- ارزیابی کلی

عدم صحت رمزنگاری تصویر سیاه یکی از ضعف‌های IEAHF (الگوریتم ۱) است. در شکل (۱) تصویر اصلی سیاه به‌عنوان ورودی به این طرح داده شده است. تصویر ورودی به الگوریتم بدون هیچ تغییری در خروجی ظاهر می‌شود که نشان‌دهنده ضعف طرح در بکارگیری مولفه‌های اغتشاش و آشفتگی است.



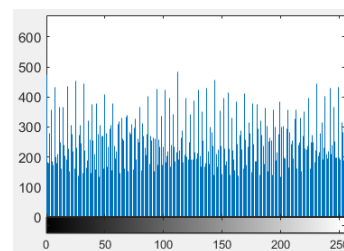
شکل (۱): عدم رمزنگاری تصویر سیاه در تمام دورها

به‌علاوه در شکل (۲) نشان‌دهنده است؛ تصویر سفید در تکرار اول حلقه الگوریتم (۱) به‌درستی رمز نمی‌شود. این ضعف در دورهای بالاتر نیز خود را نشان می‌دهد که در جداول (۱) تا (۳) قابل مشاهده است.



شکل (۲): تصویر سفید اصلی و رمز شده آن در دور اول الگوریتم (۱)

با مقایسه هیستوگرام تصویر سفید رمز شده در شکل (۳) و توزیع مربع خی (کای) دو در جدول (۱) عدم یکنواختی در تصویر رمزی طرح IEAHF امکان حملات آماری را به مهاجم می‌دهد.



شکل ۳: عدم یکنواختی هیستوگرام تصویر سفید رمز شده در دور ۵ طرح IEAHF

مقدار آنتروپی الگوریتم (۱) نمایش داده‌شده در جدول (۱) نشان می‌دهد که مقدار پیکسل‌ها در تصویر رمزی سفید، دارای احتمال وقوع یکسانی نیست. از آنجایی که میزان تصادفی بودن در تصویر سفید رمز شده نامناسب است، احتمال قابل پیش‌بینی بودن تصویر رمزی وجود دارد که برای امنیت رمزنگاری تصویر یک تهدید محسوب می‌شود.

جدول (۱): نامناسب بودن مقدار آنتروپی و مربع خی دو به ازای تعداد دورهای مختلف الگوریتم (۱)

در جدول (۲) مقادیر UACI و NPCR طرح IEAHF نشان داده شده است. در قسمت ۱-۲ ذکر شد یکی از شرایط امنیت، مقاوم بودن در برابر حملات تفاضلی UACI و NPCR است که با توجه به نامناسب بودن این

تصویر سفید ۲۵۶×۲۵۶	دورها	X2	Entropy
تصویر اصلی		۱۶۷۱۱۶۸۰	۰
تصویر رمزی	۱	۸۳۲۳۰۷۲	۱
	۲	۲۵۶۵۹۱۵	۲,۷۴۷۵
	۳	۵۹۱۳۶۱,۷	۴,۹۳۱۵
	۴	۱۱۱۴۶۲,۳	۷,۰۰۸۰
	۵	۶۷۸۶,۵	۷,۹۳۷۹

شاخص‌ها، معلوم می‌شود که طرح IEAHF در برابر حملات تفاضلی مقاوم نیست.

جدول (۲): نامناسب بودن NPCR، UACI به ازای تعداد دورهای مختلف الگوریتم (۱)

هرچه میزان همبستگی (سطری، ستونی و قطری) تصویر رمزی بیشتر باشد، اطلاعاتی که مهاجم کشف می‌کند نیز بیشتر است. جدول (۳) همبستگی تصویر سفید رمز شده در الگوریتم (۱) را نشان می‌دهد.

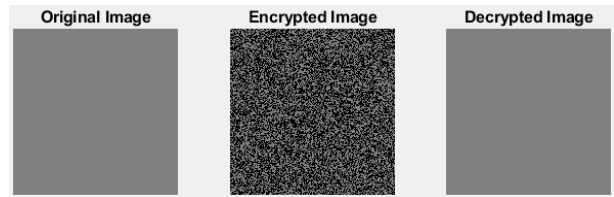
تصویر سفید ۲۵۶×۲۵۶	دورها	UACI	NPCR
تصویر رمزی	۱	%۰,۰۰۱۷	%۰,۰۰۳۰
	۲	%۴۱,۵۶۰۴	%۷۴,۶۹۷۸
	۳	%۳۲,۴۰۹۳	%۹۵,۲۷۷۰
	۴	%۳۳,۵۳۲۸	%۹۸,۸۶۶۲
	۵	%۳۳,۵۵۰۰	%۹۹,۵۵۴۴

جدول (۳): مقایسه همبستگی افقی، عمودی و قطری به ازای تعداد دورهای مختلف طرح IEAHF

به‌طور کلی طرح IEAHF برای رمزنگاری تصاویر یکنواخت مناسب نیست. به‌منظور اثبات این مطلب مطابق شکل (۴) تصویری ۲۵۶×۲۵۶ با

تصویر سفید ۲۵۶×۲۵۶	دورها	همبستگی		
		H	V	D
تصویر رمزی	۱	۱	۱	۱
	۲	۰,۰۲۱۴۲	۰,۰۲۴۶۵	۰,۵۰۱۹۶
	۳	۰,۰۱۰۲۳	۰,۰۲۸۷۰	۰,۰۳۳۱۷
	۴	۰,۰۰۶۱۰	۰,۰۰۶۴۳	۰,۰۳۳۰۸
	۵	۰,۰۱۵۴۰	۰,۰۰۷۳	۰,۰۰۵۳

پیکسل‌های ۱۲۸ را به الگوریتم (۱) دادیم، نتایج جدول (۱) حاکی از آن است که به ازای هیچ دوری تصویر رمز شده خروجی دارای امنیت نیست.



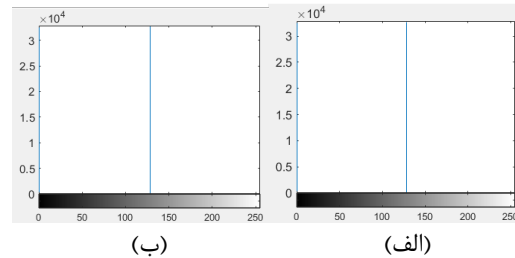
شکل (۴): تصویر اصلی 256×256 با پیکسل‌های ۱۲۸ و رمز شده آن در دور ۳۰

از آنجایی که مطابق جدول (۴) مشاهده می‌شود که مقدار آنتروپی تصویر رمز شده بسیار نامناسب است. به همین دلیل احتمال قابل‌پیش‌بینی بودن وجود دارد که برای امنیت رمزنگاری تصویر یک تهدید محسوب می‌شود.

جدول (۴): نامناسب بودن NPCR, UACI و آنتروپی تصویر با مقدار پیکسل‌های ۱۲۸ به ازای تعداد دورهای مختلف طرح IEAHF

تصویر 256×256 پیکسل‌های ۱۲۸	دور	NPCR	UACI	Entropy
تصویر رمزی	۲۰	٪۹۴,۰۹۶۳	٪۳۵,۸۱۷	۰,۹۹۹۹۹۴
	۳۰	٪۹۸,۱۹۶۴	٪۳۷,۳۰۵	۰,۹۹۹۹۸

به‌علاوه هیستوگرام تصویر رمز شده در شکل (۵) نیز عدم امنیت و کارایی طرح IEAHF را نشان می‌دهد.



شکل (۵): هیستوگرام تصویر رمز شده با مقدار پیکسل‌های یکنواخت ۱۲۸ (الف) در دور ۲۰ (ب) در دور ۳۰

۴-۲- ارزیابی کلیدها

باتوجه به محدودیت ارقام قابل نمایش در روش ممیز شناور اعداد حقیقی در نرم‌افزار رایانه و حساسیت شدید نگاشت‌های آشوبی به مقدار ورودی نگاشت، دنباله‌های تولید شده توسط این نگاشت‌ها در رایانه، پس از یک دوره زمانی معین به تدریج خواص آشوبی خود را از دست می‌دهند [۲۷]. به همین دلیل برای جلوگیری از این مشکل یا کاهش تأثیر آن، لازم است در زمان به‌کارگیری این نگاشت‌ها تمهیدات خاصی به کار برود. که در ادامه راهکاری برای رفع این مشکل ارائه می‌شود.

به‌علاوه در طرح [۱۲] (IEAHF) یکی از پارامترهای نگاشت آشوبی N_0 بعدی (به‌عنوان کلید انتخاب شده است و چنانچه در انتخاب مقادیر این کلید توجه کافی نشود، موجب اختلال در صحت عملکرد طرح رمز می‌شود (انجام نشدن گام چهارم الگوریتم)). به همین دلیل در طرح پیشنهادی عملاً پارامتر N_0 از مجموعه کلیدها خارج شده است.

۳-۴- انتقال نادرست کلید و مصرف بیش از حد پهنای باند

همان‌طور که در قسمت ۳ گفته شد، یکی از ضعف‌های الگوریتم (۱) مربوط به عملیاتی است که در فاصله بین گام ۵ و ۶ انجام می‌گردد [۲۸] که در [۱۲] توضیح روشنی در مورد آن داده نشده است. مطابق الگوریتم (۱) در گام ۴ با انتخاب مرتب دنباله‌های فرد (اگر ۶ دنباله را به‌صورت ماتریسی دارای ۶ ستون و L ردیف در نظر بگیریم ستون‌های فرد انتخاب شده است.) و در گام ۵ با مرتب‌کردن آن‌ها به‌صورت صعودی، موقعیت آن‌ها (مکان پیکسل‌ها) در یک بردار جدید بنام S ذخیره می‌شود. سپس طی عملیاتی در [۲۸] باتوجه به حلقه درونی در SS (SX) ذخیره شده است.

پس از رمزنگاری تصویر رمزی و ارسال آن، آرایه کلید (که قبلاً از کانال امن ارسال شده) در طرف گیرنده موجب عمل رمزگشایی می‌شود. مشکل [۲۸] آن جایی است که فرستنده به‌جای ارسال کلید مخفی در کانال امن، SS (SX) را روی کانال ارسال کرده تا عمل رمزگشایی سریع‌تر انجام شود. این رویه به شدت مصرف پهنای باند کانال امن را افزایش می‌دهد. ابعاد آرایه SX بسته به تعداد تکرار حلقه تغییر می‌کند. به‌طور مثال اگر تعداد تکرار $n=4$ باشد؛ این آرایه دارای ۴ بعد است که در هر بعد آن دنباله‌ای به طول $M \times N$ قرار دارد. برای تصویر اصلی 256×256 با $n=4$ برابر نسبت به حالتی که مقادیر کلید را در کانال امن انتقال دهیم، پهنای باند را بیشتر اشغال می‌نماید (با ابعاد تصویر 256×256 و $n=20$ ، برابر پهنای باند را بیشتر اشغال می‌نماید). هر چه n بزرگتر باشد پهنای باند بیشتری اشغال می‌شود.

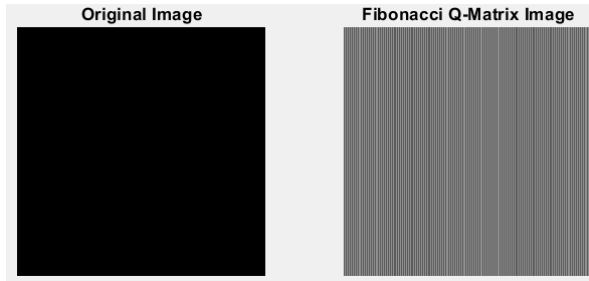
۵- طرح پیشنهادی GH401

در این بخش باتوجه به نتایج ارزیابی طرح IEAHF و تعیین نقاط ضعف آن که در بخش قبل انجام شد، طرح جدیدی بنام GH401 پیشنهاد شده است که ابتدا ساختار کلی آن معرفی می‌شود، سپس به ارزیابی طرح پیشنهادی با سایر طرح‌های مشابه پرداخته می‌شود و در نهایت نتایج ارزیابی و مقایسه ارائه می‌شود.

۵-۱- ساختار کلی

همان‌طور که در شکل (۶) نشان داده شده است، در ساختار طرح GH401 با اصلاح نگاشت ابر (مافوق) آشوب ۶ بعدی و ماتریس Q-فیونوچی، ابتدا IEAHF بهبود یافته را معرفی می‌کنیم. سپس در ادامه با طراحی کلید جدید در الگوریتم (۱)، لازم است برای افزایش آشفتگی از یک جعبه جانشانی مانند AES استفاده کنیم، اما باتوجه به آسیب‌پذیری آن در برابر حمله DPA، از جعبه جانشانی JAYAR [۲۹] که در برابر حمله DPA مقاوم است،

$$\begin{cases} C(i, j) = fz(1,1) + 1 \\ C(i, j+1) = fz(1,2) + 1 \\ C(i+1, j) = fz(2,1) + 1 \\ C(i+1, j+1) = fz(2,2) + 1 \end{cases} \quad i, j = 1 : 2 : M$$



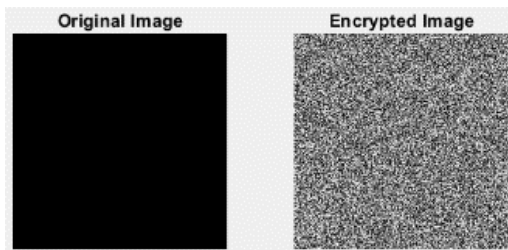
شکل (۷): تصویر اصلی و رمزی پس از اعمال ماتریس Q-فیبوناچی در دور اول

۳-۲-۵- افزودن جعبه‌جانشانی مقاوم در برابر حمله DPA

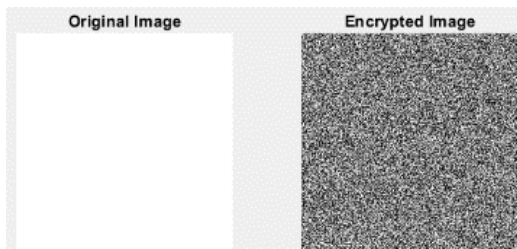
افزودن یک جعبه‌جانشانی به‌عنوان یک مؤلفه اغتشاش دهنده به‌عنوان یک نوآوری در طرح پیشنهادی GH401 انجام شده است. برای جلوگیری از حمله DPA، جعبه‌جانشانی به‌طور خاص از [۲۹] انتخاب شده است. (شکل ۶).

۳-۵- افزودن کلید جدید

به‌منظور صرفه‌جویی در زمان اجرا در ساختار کلید جدید از دنباله‌های زوج ابر آشوب ۶ بعد در گام چهارم الگوریتم (۱) استفاده شده است، (اگر ۶ دنباله تولیدی را به‌صورت ماتریسی دارای ۶ ستون و L ردیف در نظر بگیریم ستون‌های زوج برای کلید انتخاب شده است). به این ترتیب فضای این کلید $2^{128} = 2^{6 \times 8}$ بیت است.



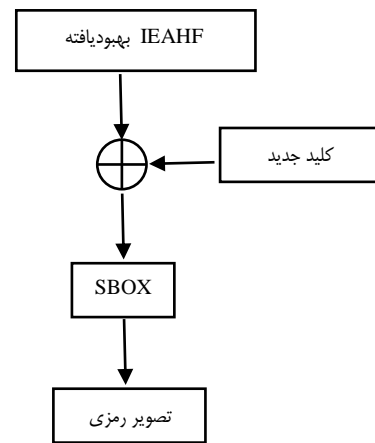
(الف)



(ب)

شکل (۸): تصویر اصلی و رمز شده طرح GH401 (الف) سیاه در دور چهارم (ب) سفید در دور چهارم

استفاده می‌کنیم. در بخش‌های بعد با مقایسه نتایج حاصل از آزمایشات طرح GH401 با طرح IEAHF و چندین طرح مشابه دیگر، بهبود اجرا شده و برتری در کارایی و امنیت نیز نشان داده شده است.



شکل (۶): ساختار طرح پیشنهادی (GH401)

۲-۵- اصلاحات اعمال شده

به‌منظور برطرف کردن نقاط ضعف IEAHF بهبودهایی به شرح زیر انجام شده و نتیجه اصلاحات در شکل (۸) آورده شده است.

۱-۲-۵- اصلاح نحوه استفاده از ابر آشوب ۶ بعدی

یکی از علت‌های رمز نشدن تصویر سیاه و ضعف در رمزنگاری تصویر سفید (به‌طور کلی تصاویر یکنواخت)، استفاده نادرست از نگاشت آشوبی است. به‌منظور رفع این ضعف، رابطه‌ای بین گام ۶ در الگوریتم (۱) و شماره تکرارهای حلقه (n) برقرار می‌کنیم.

$$R_i = P(s_i) + \text{round}, i = 1 : M \times N, \text{round} = 1 : n$$

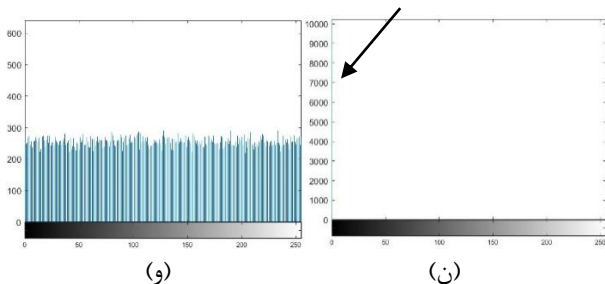
۲-۲-۵- اصلاح در روش استفاده از ماتریس Q-فیبوناچی

از آنجایی که ماتریس Q-فیبوناچی در دور اول رمزنگاری طرح IEAHF اثری ندارد؛ به‌منظور بهبود الگوریتم (۱) در گام ۷، ابتدا دنباله R را به ماتریس R' به ابعاد MxN تبدیل می‌نماییم. سپس برای آنکه از همان تکرار اول، ماتریس Q-فیبوناچی در رمزنگاری مؤثر باشد؛ عدد ثابت ۱ را با R' جمع می‌نماییم و آن را R'' می‌نامیم. با تقسیم ماتریس R'' به زیربلوک‌های 2x2 و اضافه کردن عدد ثابت ۱ به هر درایه آن، ماتریس Q-فیبوناچی از تکرار اول حلقه وارد فرایند رمزنگاری می‌شود (نتیجه در شکل (۷) برای تصویر سیاه قابل مشاهده است).

$$\begin{pmatrix} R''_{i,j} & R''_{i,j+1} \\ R''_{i+1,j} & R''_{i+1,j+1} \end{pmatrix} = \begin{pmatrix} R'_{i,j} & R'_{i,j+1} \\ R'_{i+1,j} & R'_{i+1,j+1} \end{pmatrix} + 1$$

$$A = \begin{pmatrix} 89 & 55 \\ 55 & 34 \end{pmatrix}$$

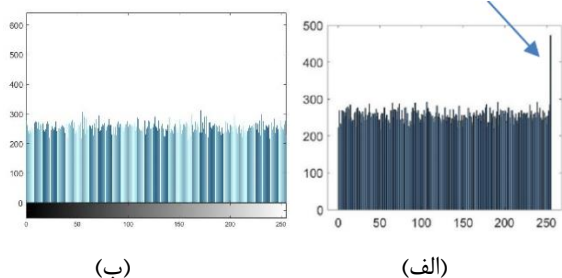
$$fz = Cx \times A$$



شکل (۹): الف) عدم یکنواختی هیستوگرام تصویر سفید

طرح IEAHF در دور چهارم (ب) عدم یکنواختی هیستوگرام تصویر سفید طرح IEAHF در دور پنجم، (ج) یکنواختی هیستوگرام تصویر سفید طرح GH401 در دور سوم، (د) یکنواختی هیستوگرام تصویر سفید طرح GH401 در دور چهارم، (ن) عدم یکنواختی هیستوگرام تصویر سیاه طرح IEAHF در دور چهارم، (و) یکنواختی هیستوگرام تصویر سیاه طرح GH401 در دور چهارم

در شکل (۱۰) دیده می‌شود که توزیع هیستوگرام تصویر رمزی لنا از طرح [۳۰] به وضوح یکنواخت نیست، این در حالی است که توزیع هیستوگرام تصویر رمزی لنا از طرح GH401 کاملاً یکنواخت است.



شکل (۱۰): الف) عدم یکنواختی هیستوگرام تصویر لنا پس از رمزنگاری طرح [۳۰] (ب) یکنواختی هیستوگرام تصویر لنا پس از رمزنگاری طرح GH401

۵-۴-۲- حملات تفاضلی شامل NPCR و UACI

برای بررسی این معیار در طرح IEAHF، دو تصویر اصلی از تصویر سفید PI_1, PI_2 را در نظر می‌گیریم که تنها در یک پیکسل اختلاف دارند. تصویرهای رمزی به دست آمده و متناظر با این دو را به ترتیب CI_1, CI_2 می‌نامیم. همان طور که از جدول (۲) مشاهده می‌شود، در طرح IEAHF مقدار حساسیت دو تصویر رمزی CI_1, CI_2 (حتی در تکرارهای دوم به بعد هم) کم است. این در حالی است که در جدول (۵) در طرح GH401، دو تصویر رمزی به طور کامل از هم متمایز هستند که نشان‌دهنده مقاومت طرح GH401 در برابر حملات تفاضلی است. برای تصاویر 256×256 حداقل NPCR باید 99.5693% و UACI باید بین 33.6447% و 33.2824% قرار داشته باشد. بهترین نتیجه برای UACI، 33.4635% است [۷، ۱۲].

اضافه شدن کلید جدید ضمن افزایش امنیت فضای کلید در برابر حمله جستجوی فراگیر، حساسیت بالاتری نسبت به کلید مخفی را به وجود می‌آورد و نقص طرح IEAHF مطرح شده در ۲-۴ را نیز رفع می‌کند. پس از اصلاحات فوق، تصاویر سیاه، سفید و تصاویر یکنواخت (شکل ۸)، بدرستی رمز می‌شوند.

۵-۳-۱- اصلاح کلیدها

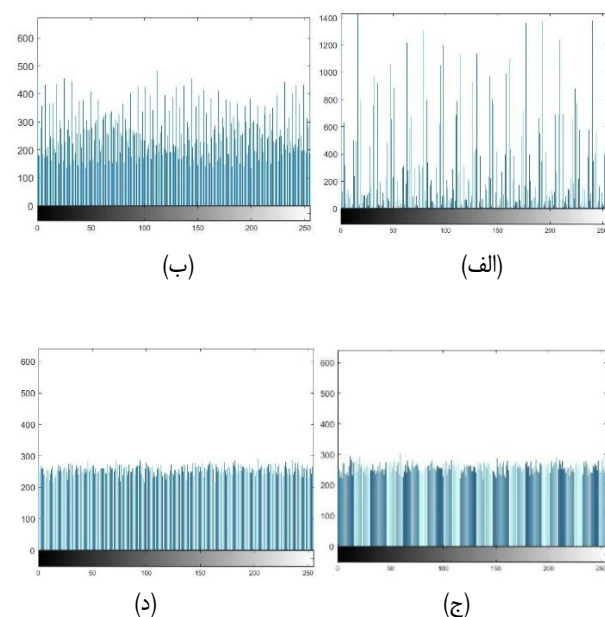
علاوه بر طراحی کلید جدید و حذف N (به دلیل بیان شده در قسمت ۲-۴) در طرح پیشنهادی به منظور تکمیل شدن اصلاحات کلید، عدد شماره حلقه دوری n به مجموعه کلیدها اضافه شده است. در انتها به منظور رفع مشکل پهنای باند، بجای انتقال SS در کانال امن، پارامترهای $x_1, x_2, x_3, x_4, x_5, x_6, a, b, c, d, e, r, n$ به همراه کلید جدید تولید شده از دنباله آشوبی ۶ بیتی را (در کانال امن) برای گیرنده انتقال می‌دهیم.

۵-۴-۳- نتایج ارزیابی و مقایسه

تعدادی از مهم‌ترین معیارهای امنیت در یک طرح رمز تصویر مانند حساسیت تصویر رمزی نسبت به تغییرات تصویر اصلی، آنتروپی، هیستوگرام تصویر، همبستگی و توزیع مربع کای پیرسون هستند [۲۳] که در قسمت ۲ هر یک تشریح شده‌اند. در ادامه به ارزیابی و مقایسه این معیارها بین طرح IEAHF و GH401 می‌پردازیم ضمناً به منظور نشان دادن برتری طرح پیشنهادی با سایر طرح‌های مشابه نیز ارزیابی و مقایسه ای انجام می‌شود.

۵-۴-۱- هیستوگرام

همان طور که در شکل (۹) مشاهده می‌شود عدم یکنواختی هیستوگرام در تصویر رمزی سفید و تصویر سیاه طرح IEAHF امکان حملات آماری را به مهاجم می‌دهد. این در حالی است که در طرح GH401 تصویر اصلی و رمزی هیچ‌گونه تشابه آماری ندارند و هیستوگرام تصویر کاملاً یکنواخت است.



جدول (۵): مقادیر NPCR، UACI به ازای تعداد دوره‌های مختلف طرح GH401

تصویر ۲۵۶×۲۵۶	دورها	میانگین UACI	میانگین NPCR%	بهترین NPCR%
تصویر رمزی سیاه	۳	۳۲,۸۵۰۱	۹۷,۲۵۰۸	۹۷,۵۲۰۴
	۴	۳۳,۴۵۹۷	۹۹,۶۰۹۳	۹۹,۶۴۸۳
تصویر رمزی سفید	۳	۳۲,۹۳۵۹	۹۷,۸۲۹۷	۹۷,۹۴۱۵
	۴	۳۳,۴۷۶۹	۹۹,۶۱۴۵	۹۹,۶۵۹۰

برای ارزیابی طرح GH401 از نظر امنیت و کارایی، نتایج با طرح‌های دیگر مقایسه می‌شوند (جدول ۱۰). نتایج تجربی بر اساس میانگین ۱۰۰ تکرار نشان می‌دهد که GH401 به تصویر اصلی بسیار حساس است و دارای بالاترین نرخ عبور در مقایسه با سایر طرح‌های مشابه است.

۳-۴-۵- توزیع مربع کای

باتوجه به آزمون مربع کای، عدم یکنواختی رمز شده تصویر سفید در طرح IEAHF در جدول (۱) و یکنواختی طرح GH401 در جدول (۶) قابل مشاهده است.

جدول (۶): مناسب بودن Entropy و مربع کای به ازای تعداد دوره‌های مختلف طرح GH401

تصویر ۲۵۶×۲۵۶	دورها	X^2_{Avg}	Entropy _{Avg}
		X^2_{best}	Entropy _{best}
تصویر رمزی سیاه	۳	-	۷.۹۹۷۴۳۳
		۲۳۲.۸۶۹	۷.۹۹۷۷۰۰
	۴	۲۰۸.۲۸۲	۷.۹۹۷۴۴۶
		۲۳۱.۵۱۴	۷.۹۹۷۶۹۶
تصویر رمزی سفید	۳	۲۰۸.۱۰۹	۷.۹۹۷۵۲۳
		۲۲۴.۷۳۲	۷.۹۹۷۹۱
	۴	۱۹۳.۶۵۶۳	۷.۹۹۷۲۵۷
		۲۳۰.۰۵۷	۷.۹۹۷۷۰۹۰

به منظور نشان دادن یکنواختی حاصل از رمزنگاری، طرح پیشنهادی GH401 با سایر طرح‌ها نیز مقایسه شده است (جدول ۱۲). کم بودن مقدار این آزمون در طرح پیشنهادی GH401 نشان دهنده توزیع یکنواخت مقادیر خاکستری نسبت به سایر طرح‌ها است.

۴-۴-۵- آنتروپی

باتوجه به نتایج حاصل از طرح IEAHF که در جدول (۱) مشاهده می‌شود؛ در طرح Gh401 میانگین آنتروپی ۱۰ تصویر رمزی تصادفی در جدول (۶) آمده است که نشان دهنده تصادفی بودن طرح است. مقادیر آنتروپی اطلاعات محاسبه شده تصاویر رمزگذاری شده توسط طرح GH401 در (جدول ۱۱) نشان داده شده است. مقادیر آنتروپی اطلاعات تصاویر رمزگذاری شده توسط الگوریتم GH401 ما به وضوح نزدیک به ۸ و بهتر از سایر الگوریتم‌های رمزنگاری دیگر است.

۵-۴-۵- همبستگی

با توجه جدول (۳) طرح IEAHF در چند دور ابتدایی تصویر رمزی دارای اطلاعاتی از تصویر اصلی است که احتمال آنکه اطلاعات واقعی توسط مهاجم کشف شود؛ با افزایش میزان همبستگی، افزایش یافته است. این درحالی است که در جدول (۷) نشان داده شده است، همبستگی طرح GH401 نزدیک به صفر است.

جدول (۷): مقایسه همبستگی افقی، عمودی و قطری به ازای تعداد دوره‌های مختلف طرح GH401

همبستگی			دورها	تصویر ۲۵۶×۲۵۶
H _{Avg}	V _{Avg}	D _{Avg}		
H _{best}	V _{best}	D _{best}		
۰.۰۰۰۴۳	۰.۰۰۰۶۳	۰.۰۰۰۲۳	۳	تصویر رمزی سیاه
۰.۰۰۰۰۲۹	۰.۰۰۰۰۱۷	۰.۰۰۰۰۶۳		
۰.۰۰۰۰۳۶	۰.۰۰۰۰۲۱	۰.۰۰۰۰۵۶	۴	تصویر رمزی سیاه
۰.۰۰۰۰۰۵	۰.۰۰۰۰۰۱	۰.۰۰۰۰۰۲		
۰.۰۰۰۰۳۶	۰.۰۰۰۰۱۹	۰.۰۰۰۰۳۷	۳	تصویر رمزی سفید
۰.۰۰۰۰۴۷	۰.۰۰۰۰۰۶	۰.۰۰۰۰۰۲		
۰.۰۰۰۰۱۷۶	۰.۰۰۰۰۳۹	۰.۰۰۰۰۱۳	۴	تصویر رمزی سفید
۰.۰۰۰۰۰۴	۰.۰۰۰۰۰۲۶	۰.۰۰۰۰۰۷		

در طرح GH401 برای آزمایش همبستگی بین دو پیکسل مجاور، ما به طور تصادفی ۴۰۰۰۰ جفت پیکسل مجاور را از تصویر رمزگذاری شده به ترتیب معکوس، افقی، و جهت مورب انتخاب کرده. سپس ضریب همبستگی هر زوج را محاسبه کرده‌ایم. با مقایسه طرح GH401 با سایر طرح‌ها (جدول ۱۳) میانگین همبستگی ضرایب برای الگوریتم رمزگذاری جدید بسیار نزدیک به صفر است. همه نتایج تایید می‌کنند که طرح GH401 ما می‌تواند همبستگی بین پیکسل‌های مجاور را در تصویر رمزگذاری شده حذف کند.

۶-۴-۵- ارزیابی و تحلیل فضای کلید

جدول (۹): زمان اجرای طرح GH401

تصویر ۲۵۶×۲۵۶	میانگین زمان رمزنگاری	میانگین زمان رمزگشایی
Baboon 	۰,۲۶۳۴۰۸	۰,۲۶۵۲۱۰
Peppers 	۰,۲۶۴۹۴۶	۰,۲۶۹۳۹۲
Airplane F16 	۰,۲۶۳۹۷۱	۰,۲۶۷۲۴۵
Lena 	۰,۲۶۵۴۶۴	۰,۲۶۹۴۱۳
Black 	۰,۲۶۲۰۲۵	۰,۲۶۷۳۱۵
White 	۰,۲۶۵۱۵۲	۰,۲۶۷۴۰۶

اندازه فضای کلید در فرآیند رمزگذاری یک معیار مهم است و برای مقاومت در برابر حمله جستجوی فراگیر، فضای کلید باید به اندازه کافی بزرگ باشد. برای هر سیستم رمزنگاری، فضای کلید تعدادی از کلیدهای ممکن قابل استفاده در فرآیند رمزگذاری را نشان می دهد. در حالت کلی اندازه فضای کلید باید بزرگتر از 2^{128} [۳۱] و یا 2^{100} [۳۲] باشد. در [۳۳] عنوان شده است که در استاندارد NIST و ENISA اندازه فضای کلید باید بزرگتر از 2^{112} باشد.

در طرح GH401 از سه سری کلید متفاوت استفاده می شود. اول کلیدهای $(r, e, d, c, b, a, x_6, x_3, x_4, x_3, x_2, x_1)$ که دارای دقت تا ۱۶ رقم اعشار هستند؛ دوم کلید دوری n (تعداد تکرارهای حلقه) و سوم کلیدی که در ۳-۵ مطرح شد. اندازه فضای کلید سیستم رمزنگاری پیشنهادی $10^{96} \times 2^{128} \times n$ است. بنابراین فضای کلید بزرگتر از اندازه استاندارد لازم است و می تواند در برابر انواع حملات جستجوی فراگیر مقاومت کند.

جدول (۸) برتری امنیت کلید طرح GH401 را نشان می دهد ضمن اینکه فضای کلید پیشنهاد شده برای مقاومت در برابر برخی دیگر از انواع متداول حملات جستجوی فراگیر کافی است.

جدول (۸): مقایسه کلید طرح GH401 با سایر طرحها

Proposed	$n \times 2^{128} \times 10^{96} \approx n \times 2^{447}$
Hosny et al.[12] (IEAHF)	$10^{96} \approx 2^{319}$
Hua et al.[19]	$1.5 \times 10^{77} \approx 2^{256}$
Wu et al.[34]	$10^{112} \approx 2^{372}$
Dridi et al.[7]	$4.85 \times 10^{83} \approx 2^{278}$
Lu et al.[33]	2^{124}
Ullah et al.[31]	2^{280}
Zhu et al.[24]	2^{258}
Farah et al.[35]	$10^{56} \approx 2^{186}$

۷- نتیجه

در این مقاله امنیت یک طرح رمزنگاری تصویر به نام IEAHF با استفاده از نگاشت های آشوبی مورد مطالعه و بررسی قرار گرفت. ما نشان دادیم که این طرح دارای ضعف های متعدد از جمله عدم صحت رمزنگاری تصویر سیاه، رمزنگاری نامناسب تصویر سفید (نامناسب بودن پارامترهای آنتروپی، همبستگی، آزمون مربع خی، هیستوگرام، UACI و NPCR)، کلیدهای ضعیف، استفاده نامناسب از کلید است و تصویر رمزی حساسیت لازم نسبت به تغییرات تصویر اصلی را ندارد. علاوه بر این با بررسی خواص شبه تصادفی و آشوبی نگاشت های به کار رفته در طرح، نشان داده شد که الگوریتم قابل بهبود است و با بهبود نگاشت آشوبی ۶ بعدی، ماتریس Q-فیونانچی، طراحی مجموعه کلیدهای جدید و استفاده از جعبه جانشانی JAYAR (که در برابر حمله DPA مقاوم است) طرح جدیدی معرفی کردیم. با مقایسه با سایر الگوریتم های رمزنگاری تصویر، نشان داده شده است که طرح پیشنهادی در مقایسه با طرح های مشابه هم از نظر امنیت و هم از نظر کارایی نتایج بهتری را تولید کرده است.

پیوست ها

۶- زمان اجرا

زمان رمزنگاری یکی از مهم ترین آزمون ها برای ارزیابی عملکرد یک الگوریتم رمز تصویر است، علاوه بر این سرعت اجرای الگوریتم رمزنگاری یک شاخص کلیدی برای اطمینان از کاربردی بودن آن است. در طرح GH401 زمان لازم برای رمزنگاری و رمزگشایی تصاویر ۲۵۶×۲۵۶ بر مبنای میانگین ۱۰۰ تکرار با استفاده از کلیدهای متفاوت و با $n=4$ در جدول (۹) آورده شده است. زمان اجرا با لپ تاپ دارای ویندوز ۱۰، Intel(R) Core(TM)i7-4710HQ CPU@2.50GHZ و ۱۲GB RAM، MATLAB R2020a انجام شده است.

جدول (۱۰): مقایسه NPCR و UACI طرح GH401 با سایر طرح‌های مشابه

Plain image	-	baboon	Peppers	Boat	AirplaneF16	Lena	Black	White	Pass rate
Proposed	<i>NPCR_{Avg}</i>	۹۹.۶۳۸۵	۹۹.۶۲۹۴	۹۹.۶۴۳۶	۹۹.۶۲۰۲	۹۹.۶۴۵۳	۹۹.۶۰۹۳	۹۹.۶۱۴۵	
	<i>NPCR_{best}</i>	۹۹.۶۷۰۴	۹۹.۶۶۴۴	۹۹.۶۷۴۹	۹۹.۶۸۴۱	۹۹.۶۶۱۳	۹۹.۶۴۸۳	۹۹.۶۵۹۰	۱۴ ۱۴
	<i>UACI_{Avg}</i>	۳۳.۴۵۶۱	۳۳.۴۶۲۶	۳۳.۴۶۶۸	۳۳.۴۵۷۰	۳۳.۴۷۴۵	۳۳.۴۵۹۷	۳۳.۴۷۶۹	
Hosny et al.[12](IEAHF)	NPCR	۹۹.۵۹۴۱	۹۹.۶۰۳۳	۹۹.۶۰۷۸	۹۹.۶۰۱۷	۹۹.۶۲۶۴۶	۷۴.۶۹۷۸	۱۰
	UACI	۳۳.۴۶۱۰	۳۳.۴۲۷۴	۳۳.۴۱۸۸	۳۳.۵۰۵۳	۳۳.۴۲۲۶۱	۴۱.۵۶۰۴	۱۴
Hua et al.[19]	NPCR	۹۹.۶۳۰۷	۹۹.۶۲۳۱	۹۹.۵۶۸۲	۹۹.۶۲۳۱	۹۹.۵۸۵۰			۸ ۱۰
	UACI	۳۳.۴۵۳۴	۳۳.۶۸۰۵	۳۳.۳۶۲۳	۳۳.۴۶۶۵	۳۳.۵۵۸۲			
Wu et al.[34]	NPCR	۹۹.۵۹۲۵	۹۹.۶۰۷۸	۹۹.۶۱۷۰	۹۹.۶۲۳۱	۹۹.۶۲۰۰			۹ ۱۰
	UACI	۳۳.۲۸۱۲	۳۳.۴۹۵۳	۳۳.۶۶۰۹	۳۳.۶۳۵۸	۳۳.۴۱۶۹			
Hanif et al.[30]	NPCR	۹۹.۶۵۲۱		۹۹.۵۹۸۷		۹۹.۵۷۴۳			۳ ۶
	UACI	۳۳.۱۶۲۷		۳۳.۲۲۶۲		۳۳.۰۵۰۹			
Dridi et al.[7]	NPCR						۹۹.۶۰۶۷	۹۹.۶۰۰۸	۴
	UACI						۳۳.۴۸۴۰	۳۳.۵۱۳۹	۴
Jun et al.[26] T=50	NPCR	۹۹.۶۰۸۳	۹۹.۶۱۲۴	۹۹.۶۱۵۹		۹۹.۶۱۹۷			۴ ۸
	UACI	۳۳.۱۳۱۶	۳۳.۱۹۶۴	۳۳.۹۶۹۳		۳۳.۰۴۴۳			
Ullah et al.[31]	NPCR						۹۹.۶۲	۹۹.۶۰	۴
	UACI						۳۳.۴۱	۳۳.۴۵	۴
Zhu et al.[24]	NPCR					۹۹.۵۹			۱ ۲
	UACI					۳۳.۲۵			
Farah et al.[35]	NPCR		۹۹.۶۲۳۳		۹۹.۶۱۳۰	۹۹.۶۰۸۳			۳ ۶
	UACI		۳۳.۵۴۲۰		۳۳.۴۷۶۶	۳۳.۴۳۱۲			
Sarosh et al.[36]	NPCR	۹۹.۶۰۴۸	۹۹.۶۰۶۳			۹۹.۵۸۸۰			۸ ۸
	UACI	۳۳.۴۹۱۴	۳۳.۵۵۲۷			۳۳.۴۰۵۹			
Pourasad et al.[37]	UACI	۳۳.۴۱۵	۳۳.۶۲۱	۳۳.۶۷۱		۳۳.۱۲۰			۲ ۴

جدول (۱۱): مقایسه آنتروپی طرح GH401 با سایر طرح‌های مشابه

Plain image	baboon	Peppers	Boat	AirplaneF16	Lena	Black	White	Average
Proposed_{Avg}	۷.۹۹۷۵۷۶	۷.۹۹۷۳۹۷۳	۷.۹۹۷۵۹۲۵	۷.۹۹۷۴۳۷۷۵	۷.۹۹۷۶۶۷	۷.۹۹۷۴۶۱	۷.۹۹۷۳۵۷	۷.۹۹۷۴۸۴
Proposed_{best}	۷.۹۹۷۹۵۲	۷.۹۹۷۶۸۷	۷.۹۹۷۸۰۰۲	۷.۹۹۷۷۸۷	۷.۹۹۷۸۱۹	۷.۹۹۷۶۹۶	۷.۹۹۷۷۰۹۰	۷.۹۹۷۷۹۱
Hosny et al.[12](IEAHF)	۷.۹۹۷۵	۷.۹۹۷۰	۷.۹۹۷۶	۷.۹۹۷۲	۷.۹۹۷۲	-	۲.۷۴۷۵	۶.۱۰۴۸۵۷
Hua et al.[19]	۷.۹۹۷۴	۷.۹۹۷۱	۷.۹۹۷۴	۷.۹۹۷۲	۷.۹۹۷۶	-	-	۷.۹۹۷۳
Wu et al.[34]	۷.۹۹۷۱	۷.۹۹۷۴	۷.۹۹۷۱	۷.۹۹۷۱	۷.۹۹۷۶	-	-	۷.۹۹۷۲
Hanif et al.[30]	۷.۹۹۵۲	-	۷.۹۹۵۶	-	۷.۹۹۵۷			۷.۹۹۵۵
Dridi et al.[7]						۷.۹۹۷۴	۷.۹۹۶۸	۷.۹۹۷۱
Jun et al.[26]	۷.۹۹۶۱	۷.۹۹۷۰	۷.۹۹۶۷	-	۷.۹۹۷۱	-	-	۷.۹۹۶۷۳۵
Lu et al.[33]	۷.۹۹۷۱	-	-	-	۷.۹۹۷۱			۷.۹۹۷۱
Ullah et al.[31]					۷.۹۹۷۴	۷.۹۹۶۹	۷.۹۹۶۹	۷.۹۹۷۰۷
Zhu et al.[24]	۷.۹۹۶۸	۷.۹۹۷۵			۷.۹۹۷۶	۷.۹۹۷۲	۷.۹۹۶۸	۷.۹۹۷۱۸
Farah et al.[35]		۷.۹۹۷۳۷۵		۷.۹۹۷۰۹۰	۷.۹۹۷۰۵۷			۷.۹۹۷۱۴۰
Sarosh et al.[36]	۷.۹۹۷۱	۷.۹۹۷۲		۷.۹۹۷۳	۷.۹۹۷۰			

جدول (۱۲): مقایسه مربع خی دو طرح GH401 با سایر طرح‌های مشابه

Plain image	baboon	Peppers	Boat	AirplaneF16	Lena	Black	White
Proposed_{Avg}	۲۲۱.۰۹۳	۲۲۱.۶۸۷	۲۴۴.۸۷۷	۲۴۲.۸۲۷	۲۲۷.۸۴۳	۲۳۱.۵۱۴	۲۴۲.۵۷۱
Proposed_{best}	۱۸۶.۹۲۱	۲۰۹.۳۵۱	۱۹۸.۸۲۸	۱۹۹.۸۷۵	۱۹۸.۳۳۵	۲۰۸.۱۰۹	۲۰۶.۵۱۵
Hosny et al.[12](IEAHF)	۲۲۴.۲۵۷	۲۶۸.۴۷۶	۲۱۹.۹۲۹	۲۵۳.۹۰	۲۶۴.۸۷۵	۱۶۷۱۱۶۸۰	۲۵۶۵۹۱۵
Jun et al.[26] T=50	۲۷۵.۷۸۱۳	۲۶۱.۱۴۰	۲۷۸.۱۶		۲۷۴.۷۱۸		
Lu et al.[33]	۲۶۷.۸۱۲				۲۶۲.۵		
Zhu et al.[24]	۲۸۸.۶۶۴	۲۲۴.۲۳۴			۲۲۱.۱۹۵	۲۵۶.۴۳۰	۲۹۳.۰۳۹
Dridi et al.[7]						۲۳۴.۰۳۹۱	۲۷۳.۶۶۴
Sarosh et al.[36]		۲۵۶.۶۱۹			۲۳۷.۲۷۸		

جدول (۱۳): مقایسه همبستگی طرح GH401 با سایر طرح‌های مشابه

Plain image		baboon	Peppers	Boat	AirplaneF16	Lena	Black	White	Average
Proposed_{best}	H	۰.۰۰۰۰۳	۰.۰۰۰۰۱	۰.۰۰۰۰۴	۰.۰۰۰۰۸	۰.۰۰۰۰۹	۰.۰۰۰۰۵	۰.۰۰۰۰۴	۰.۰۰۰۰۴
	V	۰.۰۰۰۰۳	۰.۰۰۰۰۸	۰.۰۰۰۰۷	۰.۰۰۰۰۵	۰.۰۰۰۰۱	۰.۰۰۰۰۱	۰.۰۰۰۰۳	۰.۰۰۰۰۲
	D	۰.۰۰۰۰۲	۰.۰۰۰۰۷	۰.۰۰۰۰۱	۰.۰۰۰۰۱	۰.۰۰۰۰۶	۰.۰۰۰۰۲	۰.۰۰۰۰۷	۰.۰۰۰۰۲
Proposed_{Avg}	H	۰.۰۰۰۰۷۶	۰.۰۰۰۰۳	۰.۰۰۰۰۱۱	۰.۰۰۰۰۱	۰.۰۰۰۰۱۱	۰.۰۰۰۰۳۶	۰.۰۰۰۰۱۷	۰.۰۰۰۰۲۲
	V	۰.۰۰۰۰۳۱	۰.۰۰۰۰۵۷	۰.۰۰۰۰۴۱	۰.۰۰۰۰۳۷	۰.۰۰۰۰۴۵	۰.۰۰۰۰۲۱	۰.۰۰۰۰۳۹	۰.۰۰۰۰۳۸
	D	۰.۰۰۰۰۷۲	۰.۰۰۰۰۳۰	۰.۰۰۰۰۱۹	۰.۰۰۰۰۸۶	۰.۰۰۰۰۰۶	۰.۰۰۰۰۵۶	۰.۰۰۰۰۱۳	۰.۰۰۰۰۴۰
Hosny et al.[12](IEAHF)	H	۰.۰۰۲۵۱	۰.۰۰۰۴۴	۰.۰۰۰۴۱	۰.۰۰۲۶۹	۰.۰۰۰۱۹	۱	۰.۵۰۱۹۶	۰.۲۳۳۳۸
	V	۰.۰۰۰۴۰	۰.۰۰۰۷۷	۰.۰۰۰۱۱	۰.۰۰۱۹۶	۰.۰۰۰۶۹	۱	۰.۰۰۲۴۶۵	۰.۱۵۱۹۹
	D	۰.۰۰۲۳۱	۰.۰۰۰۶۷	۰.۰۰۱۱۳	۰.۰۰۲۶۰	۰.۰۰۲۰۰	۱	۰.۰۰۲۱۴۲	۰.۱۵۸۳۶
Hua et al.[19]	H	۰.۰۰۱۳۲	۰.۰۰۱۰۰	۰.۰۰۰۲۱۴	۰.۰۰۱۵۴	۰.۰۰۲۵۰	-	-	۰.۰۰۱۷
	V	۰.۰۰۱۵۰	۰.۰۰۰۳۸	۰.۰۰۳۳۰	۰.۰۰۰۸۹	۰.۰۰۱۱۶			۰.۰۰۱۴۵
	D	۰.۰۰۳۰۹	۰.۰۰۳۲۱	۰.۰۰۲۱۳	۰.۰۰۰۳۱	۰.۰۰۰۲۵			۰.۰۰۱۷۴۲
Wu et al.[34]	H	۰.۰۰۰۲۹	۰.۰۰۰۰۶	۰.۰۰۰۰۳	۰.۰۰۰۲۵	۰.۰۰۰۳۲			۰.۰۰۱۹
	V	۰.۰۰۰۳۳	۰.۰۰۰۳۸	۰.۰۰۰۳۴	۰.۰۰۰۵۰	۰.۰۰۰۱۶			۰.۰۰۳۴
	D	۰.۰۰۰۶۲	۰.۰۰۰۱۰	۰.۰۰۰۱۱	۰.۰۰۰۱۲	۰.۰۰۰۲۳			۰.۰۰۲۴
Hanif et al.[30]	H					۰.۰۰۰۶۵			۰.۰۰۰۶۵
	V					۰.۰۰۰۱۶			۰.۰۰۰۱۶
	D					۰.۰۰۰۶۳			۰.۰۰۰۶۳
Dridi et al.[7]	H						۰.۰۰۰۱۶۷	۰.۰۰۰۱۶۵	۰.۰۰۰۱۶۶
	V						۰.۰۰۰۴۴	۰.۰۰۰۲۵	۰.۰۰۰۳۴
	D						۰.۰۰۰۷۴	۰.۰۰۰۳۶	۰.۰۰۰۵۵
Jun et al.[26] T=50	H	۰.۰۰۰۱۴	۰.۰۰۰۲۶	۰.۰۰۰۲۰		۰.۰۰۰۵۹			۰.۰۰۰۲۹۷
	V	۰.۰۰۰۳۲	۰.۰۰۰۱۲	۰.۰۰۰۴۷		۰.۰۰۰۶۴			۰.۰۰۰۳۸۷
	D	۰.۰۰۰۱۰	۰.۰۰۰۵۰	۰.۰۰۰۱۸		۰.۰۰۰۰۳			۰.۰۰۰۲۰
Lu et al.[33]	H	۰.۰۰۰۰۷				۰.۰۰۰۵۶			۰.۰۰۰۳۱۵
	V	۰.۰۰۰۰۴				۰.۰۰۰۰۶			۰.۰۰۰۰۵
	D	۰.۰۰۰۱۴				۰.۰۰۰۱۸			۰.۰۰۰۱۶
Ullah et al.[31]	H					۰.۰۰۰۰۱	۰.۰۰۰۲۷	۰.۰۰۰۸۰	۰.۰۰۰۳۶
	V					۰.۰۰۰۰۱	۰.۰۰۰۹۰	۰.۰۰۰۵۷	۰.۰۰۰۴۹
	D					۰.۰۰۰۰۷	۰.۰۰۰۲۰	۰.۰۰۰۳۵	۰.۰۰۰۲۰
Zhu et al.[24]	H					۰.۰۰۰۲۰			۰.۰۰۰۲۰
	V					۰.۰۰۰۰۳			۰.۰۰۰۰۳
	D					۰.۰۰۰۱۴			۰.۰۰۰۱۴
Farah et al.[35]	H		۰.۰۰۱۵۹۷		۰.۰۰۲۱۳۷	۰.۰۰۱۱۸			۰.۰۰۱۶۳۴
	V		۰.۰۰۳۵۰۳		۰.۰۰۱۸۶۲	۰.۰۰۱۷۳			۰.۰۰۲۳۶۵
	D		۰.۰۰۰۹۶۷		۰.۰۰۱۰۸۰	۰.۰۰۰۸۰			۰.۰۰۰۹۴۹
Sarosh et al.[36]	H	۰.۰۰۰۴۰				۰.۰۰۰۲۱			۰.۰۰۰۳۰۵
	V	۰.۰۰۰۱۹				۰.۰۰۰۹۹			۰.۰۰۰۵۹
	D	۰.۰۰۰۱۸				۰.۰۰۰۱۱			۰.۰۰۰۱۴۵

- [16] M. Khan, T. Shah, H. Mahmood, M. A. Gondal, and I. Hussain, "A novel technique for the construction of strong S-boxes based on chaotic Lorenz systems," *Nonlinear Dynamics*, vol. 70, pp. 2303–2311, 2012.
- [17] T. Farah, R. Rhouma, and S. Belghith, "A novel method for designing S-box based on chaotic map and teaching-learning-based optimization," *Nonlinear dynamics*, vol. 88, no. 2, pp. 1089–1094, 2017.
- [18] Y. He, Y.-Q. Zhang, and X.-Y. Wang, "A new image encryption algorithm based on two-dimensional spatiotemporal chaotic system," *Neural Computing and Applications*, vol. 22, pp. 247–260, 2010.
- [19] Z. Hua, Y. Zhou, and H. Huang, "Cosine-transform-based chaotic system for image encryption," *Information Sciences*, vol. 180, pp. 403–419, 2010.
- [20] Y.-Q. Zhang, J.-L. Hao, and X.-Y. Wang, "An efficient image encryption scheme based on S-boxes and fractional-order differential logistic map," *IEEE Access*, vol. 8, pp. 84175–84188, 2020.
- [21] M. Tanveer *et al.*, "Multi-images encryption scheme based on 3D chaotic map and substitution box," *IEEE Access*, vol. 9, pp. 73924–73937, 2021.
- [22] M. Beck and R. Geoghegan, *The art of proof: basic training for deeper mathematics*. Springer, 2010.
- [23] X. Wang and G. He, "Cryptanalysis on a novel image encryption method based on total shuffling scheme," *Optics Communications*, vol. 284, no. 24, pp. 5804–5807, 2011.
- [24] S. Zhu, G. Wang, and C. Zhu, "A secure and fast image encryption scheme based on double chaotic S-boxes," *Entropy*, vol. 21, no. 8, p. 790, 2019.
- [25] Y. Wu, J. P. Noonan, and S. Agaian, "NPCR and UACI randomness tests for image encryption," *Cyber journals: multidisciplinary journals in science and technology, Journal of Selected Areas in Telecommunications (JSAT)*, vol. 1, no. 2, pp. 31–38, 2011.
- [26] W. J. Jun and T. S. Fun, "A new image encryption algorithm based on single S-box and dynamic encryption step," *IEEE Access*, vol. 9, pp. 120596–120612, 2021.
- [27] T. Addabbo, A. Fort, L. Kocarev, S. Rocchi, and V. Vignoli, "Pseudo-chaotic lossy compressors for true random number generation," *IEEE Transactions on Circuits and Systems I: Regular Papers*, vol. 68, no. 8, pp. 1897–1909, 2021.
- [28] https://www.mathworks.com/matlabcentral/fileexchange/108600-image_encryption_2021?s_tid=FX_rc3_behav.
- [29] B. Khadem and S. Rajavzade, "Construction of Side Channel Attacks Resistant S-boxes using Genetic Algorithms based on Coordinate Functions," *Journal of Electrical and Computer Engineering Innovations (JECEI)*, vol. 10, no. 1, pp. 143-152, 2022.
- [30] M. Hanif *et al.*, "A novel grayscale image encryption scheme based on the block-level swapping of pixels and the chaotic system," *Sensors*, vol. 22, no. 16, p. 6243, 2022.
- [31] I. Ullah, U. Hayat, and M. D. Bustamante, "Image encryption using elliptic curves and Rossby/drift wave triads," *Entropy*, vol. 22, no. 4, p. 454, 2020.
- [32] G. Alvarez and S. Li, "Some basic cryptographic requirements for chaos-based cryptosystems," [1] J. E. N. Lorenz, "Deterministic nonperiodic flow," *Journal of atmospheric sciences*, vol. 20, no. 2, pp. 130–141, 1963.
- [2] J. Amigo, L. Kocarev, and J. Szczepanski, "Theory and practice of chaotic cryptography," *Physics Letters A*, vol. 366, no. 3, pp. 2007, 211–216.
- [3] A. D. Pano-Azucena, J. de Jesus Rangel-Magdaleno, E. Telo-Cuautle, and A. de Jesus Quintas-Valles, "Arduino-based chaotic secure communication system using multi-directional multi-scroll chaotic oscillators," *Nonlinear Dynamics*, vol. 87, pp. 2203–2217, 2017.
- [4] M. Baptista, "Cryptography with chaos," *Physics letters A*, vol. 240, no. 1–2, pp. 50–54, 1998.
- [5] J. Sun, X. Zhao, J. Fang, and Y. Wang, "Autonomous memristor chaotic systems of infinite chaotic attractors and circuitry realization," *Nonlinear Dynamics*, vol. 94, pp. 2879–2887, 2018.
- [6] R. Matthews, "On the derivation of a "chaotic" encryption algorithm," *Cryptologia*, vol. 13, no. 1, pp. 29–42, 1989.
- [7] F. Dridi, S. El Assad, W. El Hadj Youssef, M. Machhout, and R. Lozi, "Design, Implementation, and Analysis of a Block Cipher Based on a Secure Chaotic Generator," *Applied Sciences*, vol. 12, no. 19, p. 9952, 2022.
- [8] J. Fridrich, "Symmetric ciphers based on two-dimensional chaotic maps," *International journal of bifurcation and chaos*, vol. 8, no. 02, pp. 1259–1284, 1998.
- [9] M. Khan, "A novel image encryption scheme based on multiple chaotic S-boxes," *Nonlinear Dynamics*, vol. 82, no. 1–2, pp. 527–533, 2015.
- [10] H. Liu, A. Kadir, and J. Liu, "Keyed hash function using hyper chaotic system with time-varying parameters perturbation," *IEEE Access*, vol. 7, pp. 37211–37219, 2019.
- [11] J. Sun, G. Han, and Y. Wang, "Dynamical analysis of memcapacitor chaotic system and its image encryption application," *International Journal of Control, Automation and Systems*, vol. 18, no. 8, pp. 1242–1249, 2020.
- [12] K. M. Hosny, S. T. Kamal, M. M. Darwish, and G. A. Papakostas, "New image encryption algorithm using hyperchaotic system and fibonacci q-matrix," *Electronics*, vol. 10, no. 9, p. 1066, 2021.
- [13] B. Khadem, M. Pazooki, and B. Alizade, "Cryptanalysis and Improvement of a New Chaotic Image Encryption Scheme," 2015.
- [14] M. Khan, "A novel image encryption using Fourier series," *Journal of Vibration and Control*, vol. 21, no. 16, pp. 2015, 2450–2455.
- [15] F. A. Khan, J. Ahmed, J. S. Khan, J. Ahmad, and M. A. Khan, "A novel image encryption based on Lorenz equation, Gingerbreadman chaotic map and S permutation," *Journal of Intelligent & Fuzzy Systems*, vol. 33, no. 6, pp. 3753–3765, 2021.

- International journal of bifurcation and chaos*, vol. ۱۶, no. ۰۸, pp. ۲۱۲۹-۲۱۵۱, ۲۰۰۶
- [33] Q. Lu, C. Zhu, and X. Deng, "An efficient image encryption scheme based on the LSS chaotic map and single S-box," *IEEE Access*, vol. ۸, pp. ۲۵۶۶۴-۲۵۶۷۸, ۲۰۲۰
- [34] J. Wu, X. Liao, and B. Yang, "Image encryption using ۲D Hénon-Sine map and DNA approach," *Signal processing*, vol. ۱۵۳, pp. ۱۱-۲۳, ۲۰۱۸
- [35] M. B. Farah, A. Farah, and T. Farah", "An image encryption scheme based on a new hybrid chaotic map and optimized substitution box," *Nonlinear Dynamics*, vol. ۹۹, no. ۴, pp. ۳۰۴۱-۳۰۶۴, ۲۰۲۰
- [36] P. Sarosh, S. A. Parah, and G. M. Bhat, "An efficient image encryption scheme for healthcare applications," *Multimedia Tools and Applications*, vol. ۸۱, no. ۵, pp. ۷۲۵۳-۷۲۷۰, ۲۰۲۲
- [37] Y. Pourasad, R. Ranjbarzadeh, and A. Mardani, "A new algorithm for digital image encryption based on chaos theory," *Entropy*, vol. ۲۳, no. ۳, p. ۳۴۱, ۲۰۲۱

زیر نویس ها

^۱Topologically transitive

^۲Dense

^۳Fibonacci Q matrix

^۴Khalid M. Hosny

^۵Number of Pixels Change Rate

^۶United Average Changing Intensity

^۷Pearson's Chi-Square

^۸Goodness of Fit